

Eingabe: Farbmetrisches Fernseh-Licht-System TLS70

für Buntton $h^* = lab^*h = 22/360 = 0.061$

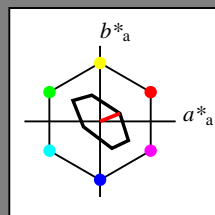
lab^*ich und lab^*nch

D65: Buntton O

LCH*Ma: 76 28 22

olv*Ma: 1.0 0.0 0.0

Dreiecks-Helligkeit t^*



TLS70; adaptierte CIELAB-Daten

| | $L^*=L^*_a$ | a^*_a | b^*_a | $C^*_{ab,a}$ | $h^*_{ab,a}$ |
|------------------|-------------|---------|---------|--------------|--------------|
| O _{Ma} | 76.43 | 26.27 | 10.57 | 28.32 | 22 |
| Y _{Ma} | 93.93 | -10.76 | 34.63 | 36.27 | 107 |
| L _{Ma} | 89.32 | -35.8 | 27.64 | 45.24 | 142 |
| C _{Ma} | 90.93 | -21.95 | -7.07 | 23.07 | 198 |
| V _{Ma} | 72.1 | 15.76 | -35.63 | 38.97 | 294 |
| M _{Ma} | 78.5 | 37.52 | -25.23 | 45.22 | 326 |
| N _{Ma} | 69.7 | 0.0 | 0.0 | 0.0 | 0 |
| W _{Ma} | 95.41 | 0.0 | 0.0 | 0.0 | 0 |
| R _{CIE} | 39.92 | 58.74 | 27.99 | 65.07 | 25 |
| J _{CIE} | 81.26 | -2.88 | 71.56 | 71.62 | 92 |
| G _{CIE} | 52.23 | -42.41 | 13.6 | 44.55 | 162 |
| B _{CIE} | 30.57 | 1.41 | -46.46 | 46.49 | 272 |

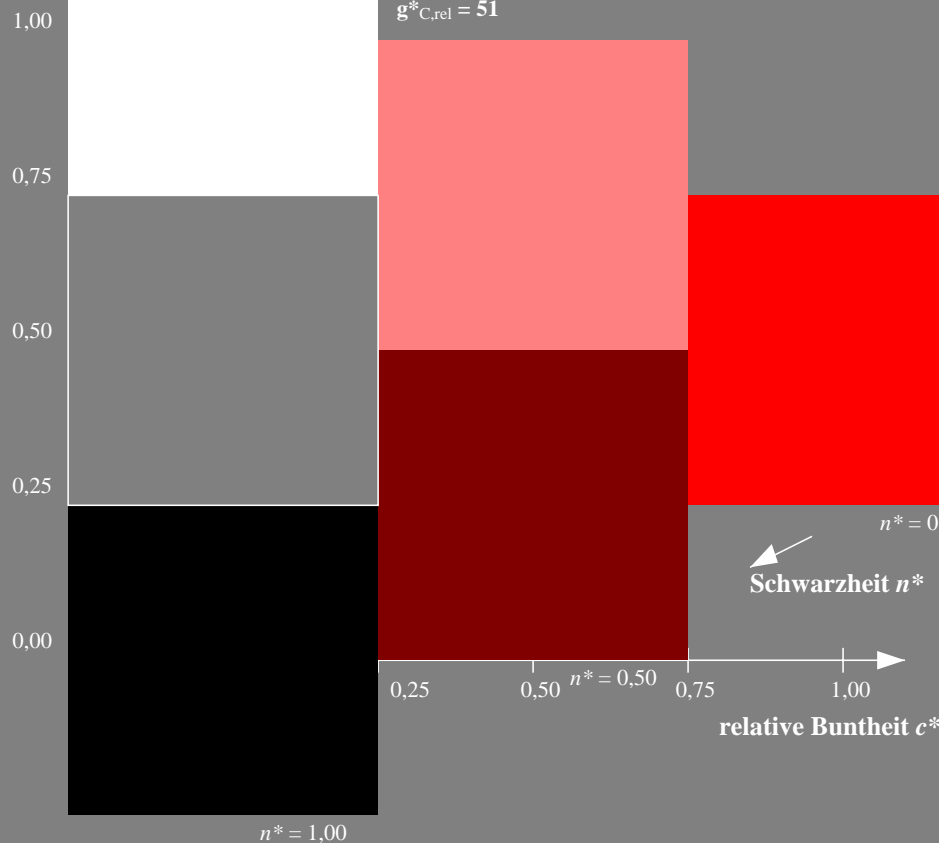
%Umfang

$u^*_{rel} = 16$

%Regularität

$g^*_{H,rel} = 34$

$g^*_{C,rel} = 51$



Ausgabe: Farbmetrisches Fernseh-Licht-System TLS00

für Buntton $h^* = lab^*h = 40/360 = 0.111$

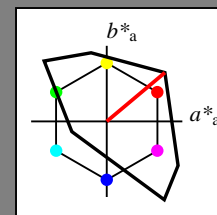
lab^*ich und lab^*nch

D65: Buntton O

LCH*Ma: 51 100 40

olv*Ma: 1.0 0.0 0.0

Dreiecks-Helligkeit t^*



TLS00; adaptierte CIELAB-Daten

| | $L^*=L^*_a$ | a^*_a | b^*_a | $C^*_{ab,a}$ | $h^*_{ab,a}$ |
|------------------|-------------|---------|---------|--------------|--------------|
| O _{Ma} | 50.5 | 76.92 | 64.55 | 100.42 | 40 |
| Y _{Ma} | 92.66 | -20.69 | 90.75 | 93.08 | 103 |
| L _{Ma} | 83.63 | -82.75 | 79.9 | 115.04 | 136 |
| C _{Ma} | 86.88 | -46.16 | -13.55 | 48.12 | 196 |
| V _{Ma} | 30.39 | 76.06 | -103.59 | 128.52 | 306 |
| M _{Ma} | 57.3 | 94.35 | -58.41 | 110.97 | 328 |
| N _{Ma} | 0.01 | 0.0 | 0.0 | 0.0 | 0 |
| W _{Ma} | 95.41 | 0.0 | 0.0 | 0.0 | 0 |
| R _{CIE} | 39.92 | 58.74 | 27.99 | 65.07 | 25 |
| J _{CIE} | 81.26 | -2.88 | 71.56 | 71.62 | 92 |
| G _{CIE} | 52.23 | -42.41 | 13.6 | 44.55 | 162 |
| B _{CIE} | 30.57 | 1.41 | -46.46 | 46.49 | 272 |

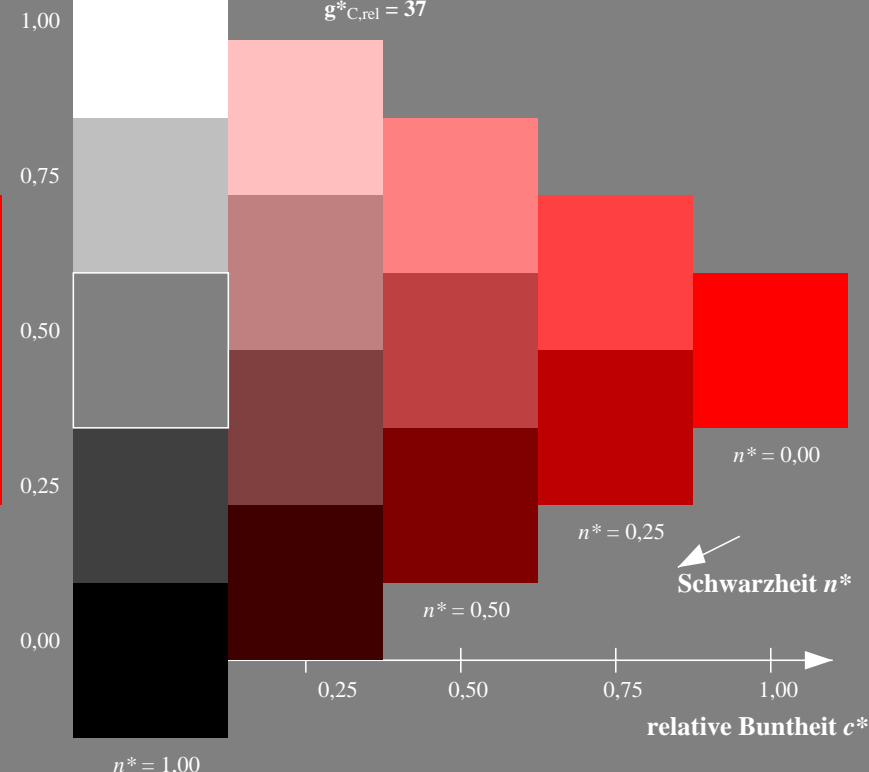
%Umfang

$u^*_{rel} = 158$

%Regularität

$g^*_{H,rel} = 20$

$g^*_{C,rel} = 37$



NG880-7, 3stufige Reihen für konstanten CIELAB Buntton 22/360 = 0.061 (links)

5stufige Reihen für konstanten CIELAB Buntton 40/360 = 0.111 (rechts)

BAM-Prüfvorlage NG88; Farbmetrik-Systeme TLS70 & TLS00 input: olv* setrgbcolor

D65: 3 und 5stufige Farbreihen für 10 Bunttöne

output: no change compared to input

Eingabe: Farbmetrisches Fernseh-Licht-System TLS70

für Buntton $h^* = lab^*h = 107/360 = 0.298$

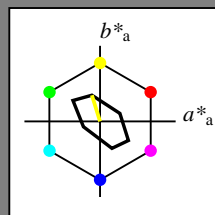
lab^*ich und lab^*nch

D65: Buntton Y

LCH*Ma: 94 36 107

olv*Ma: 1.0 1.0 0.0

Dreiecks-Helligkeit t^*



TLS70; adaptierte CIELAB-Daten

| | $L^*=L^*_a$ | a^*_a | b^*_a | $C^*_{ab,a}$ | $h^*_{ab,a}$ |
|------------------|-------------|---------|---------|--------------|--------------|
| O _{Ma} | 76.43 | 26.27 | 10.57 | 28.32 | 22 |
| Y _{Ma} | 93.93 | -10.76 | 34.63 | 36.27 | 107 |
| L _{Ma} | 89.32 | -35.8 | 27.64 | 45.24 | 142 |
| C _{Ma} | 90.93 | -21.95 | -7.07 | 23.07 | 198 |
| V _{Ma} | 72.1 | 15.76 | -35.63 | 38.97 | 294 |
| M _{Ma} | 78.5 | 37.52 | -25.23 | 45.22 | 326 |
| N _{Ma} | 69.7 | 0.0 | 0.0 | 0.0 | 0 |
| W _{Ma} | 95.41 | 0.0 | 0.0 | 0.0 | 0 |
| R _{CIE} | 39.92 | 58.74 | 27.99 | 65.07 | 25 |
| J _{CIE} | 81.26 | -2.88 | 71.56 | 71.62 | 92 |
| G _{CIE} | 52.23 | -42.41 | 13.6 | 44.55 | 162 |
| B _{CIE} | 30.57 | 1.41 | -46.46 | 46.49 | 272 |

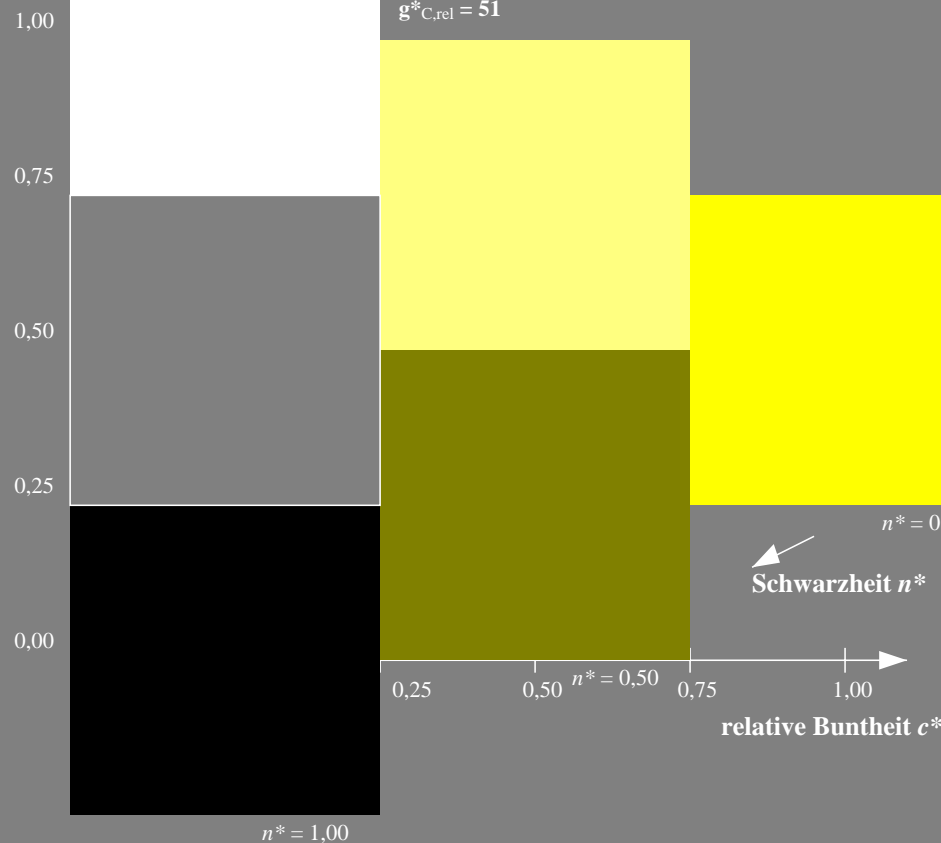
%Umfang

$u^*_{rel} = 16$

%Regularität

$g^*_{H,rel} = 34$

$g^*_{C,rel} = 51$



NG880-7, 3stufige Reihen für konstanten CIELAB Buntton 107/360 = 0.298 (links)

BAM-Prüfvorlage NG88; Farbmetrik-Systeme TLS70 & TLS00 input: olv* setrgbcolor

D65: 3 und 5stufige Farbreihen für 10 Bunttöne

Ausgabe: Farbmetrisches Fernseh-Licht-System TLS00

für Buntton $h^* = lab^*h = 103/360 = 0.286$

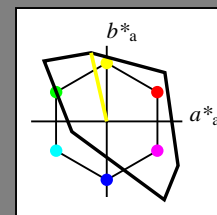
lab^*ich und lab^*nch

D65: Buntton Y

LCH*Ma: 93 93 103

olv*Ma: 1.0 1.0 0.0

Dreiecks-Helligkeit t^*



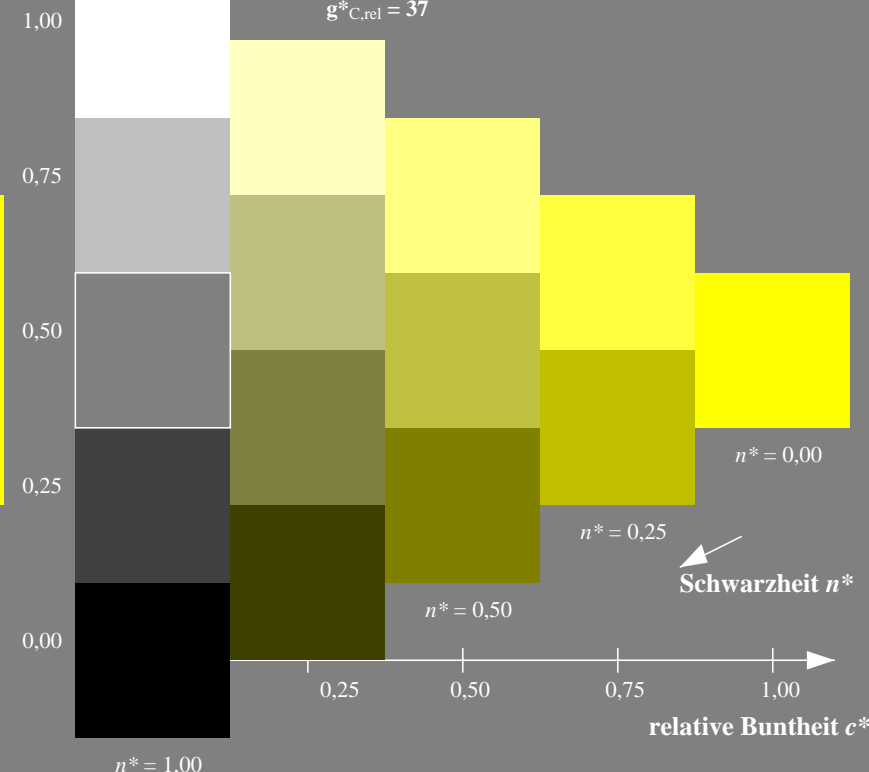
%Umfang

$u^*_{rel} = 158$

%Regularität

$g^*_{H,rel} = 20$

$g^*_{C,rel} = 37$



5stufige Reihen für konstanten CIELAB Buntton 103/360 = 0.286 (rechts)

output: no change compared to input

Eingabe: Farbmetrisches Fernseh-Licht-System TLS70

für Buntton $h^* = lab^*h = 142/360 = 0.395$

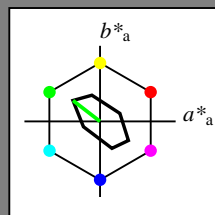
lab^*ich und lab^*nch

D65: Buntton L

LCH*Ma: 89 45 142

olv*Ma: 0.0 1.0 0.0

Dreiecks-Helligkeit t^*



TLS70; adaptierte CIELAB-Daten

| | $L^*=L^*_a$ | a^*_a | b^*_a | $C^*_{ab,a}$ | $h^*_{ab,a}$ |
|------------------|-------------|---------|---------|--------------|--------------|
| O _{Ma} | 76.43 | 26.27 | 10.57 | 28.32 | 22 |
| Y _{Ma} | 93.93 | -10.76 | 34.63 | 36.27 | 107 |
| L _{Ma} | 89.32 | -35.8 | 27.64 | 45.24 | 142 |
| C _{Ma} | 90.93 | -21.95 | -7.07 | 23.07 | 198 |
| V _{Ma} | 72.1 | 15.76 | -35.63 | 38.97 | 294 |
| M _{Ma} | 78.5 | 37.52 | -25.23 | 45.22 | 326 |
| N _{Ma} | 69.7 | 0.0 | 0.0 | 0.0 | 0 |
| W _{Ma} | 95.41 | 0.0 | 0.0 | 0.0 | 0 |
| R _{CIE} | 39.92 | 58.74 | 27.99 | 65.07 | 25 |
| J _{CIE} | 81.26 | -2.88 | 71.56 | 71.62 | 92 |
| G _{CIE} | 52.23 | -42.41 | 13.6 | 44.55 | 162 |
| B _{CIE} | 30.57 | 1.41 | -46.46 | 46.49 | 272 |

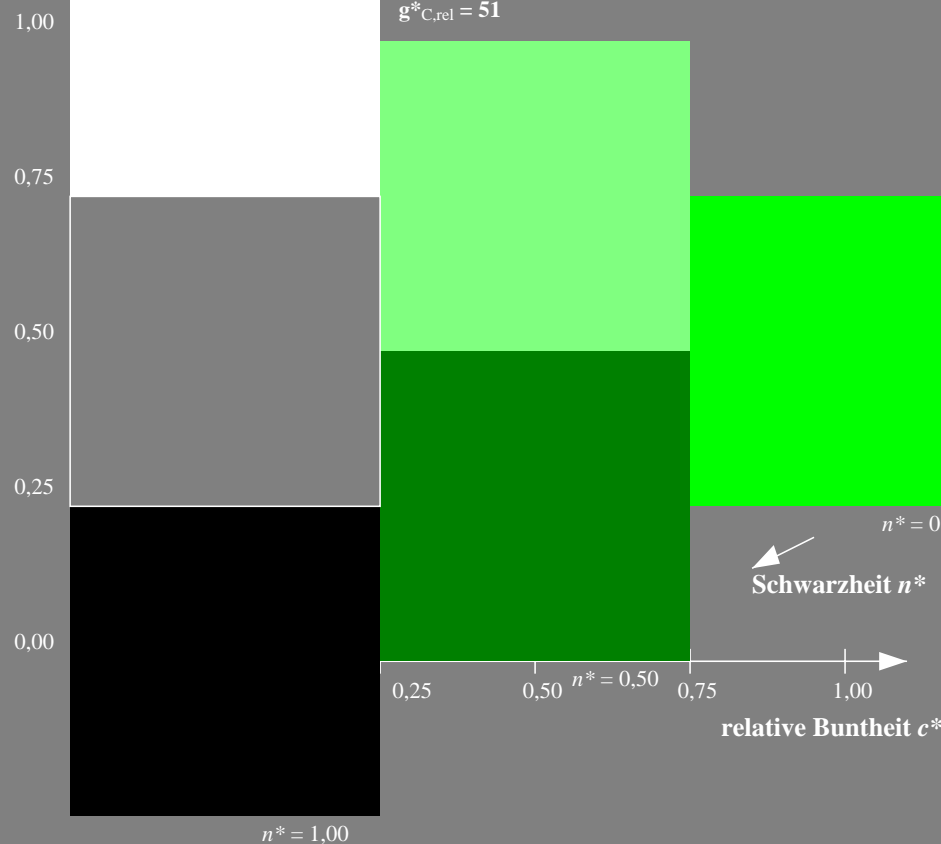
%Umfang

$u^*_{rel} = 16$

%Regularität

$g^*_{H,rel} = 34$

$g^*_{C,rel} = 51$



Ausgabe: Farbmetrisches Fernseh-Licht-System TLS00

für Buntton $h^* = lab^*h = 136/360 = 0.378$

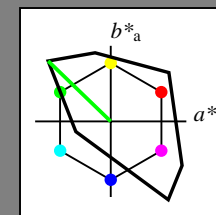
lab^*ich und lab^*nch

D65: Buntton L

LCH*Ma: 84 115 136

olv*Ma: 0.0 1.0 0.0

Dreiecks-Helligkeit t^*



TLS00; adaptierte CIELAB-Daten

| | $L^*=L^*_a$ | a^*_a | b^*_a | $C^*_{ab,a}$ | $h^*_{ab,a}$ |
|------------------|-------------|---------|---------|--------------|--------------|
| O _{Ma} | 50.5 | 76.92 | 64.55 | 100.42 | 40 |
| Y _{Ma} | 92.66 | -20.69 | 90.75 | 93.08 | 103 |
| L _{Ma} | 83.63 | -82.75 | 79.9 | 115.04 | 136 |
| C _{Ma} | 86.88 | -46.16 | -13.55 | 48.12 | 196 |
| V _{Ma} | 30.39 | 76.06 | -103.59 | 128.52 | 306 |
| M _{Ma} | 57.3 | 94.35 | -58.41 | 110.97 | 328 |
| N _{Ma} | 0.01 | 0.0 | 0.0 | 0.0 | 0 |
| W _{Ma} | 95.41 | 0.0 | 0.0 | 0.0 | 0 |
| R _{CIE} | 39.92 | 58.74 | 27.99 | 65.07 | 25 |
| J _{CIE} | 81.26 | -2.88 | 71.56 | 71.62 | 92 |
| G _{CIE} | 52.23 | -42.41 | 13.6 | 44.55 | 162 |
| B _{CIE} | 30.57 | 1.41 | -46.46 | 46.49 | 272 |

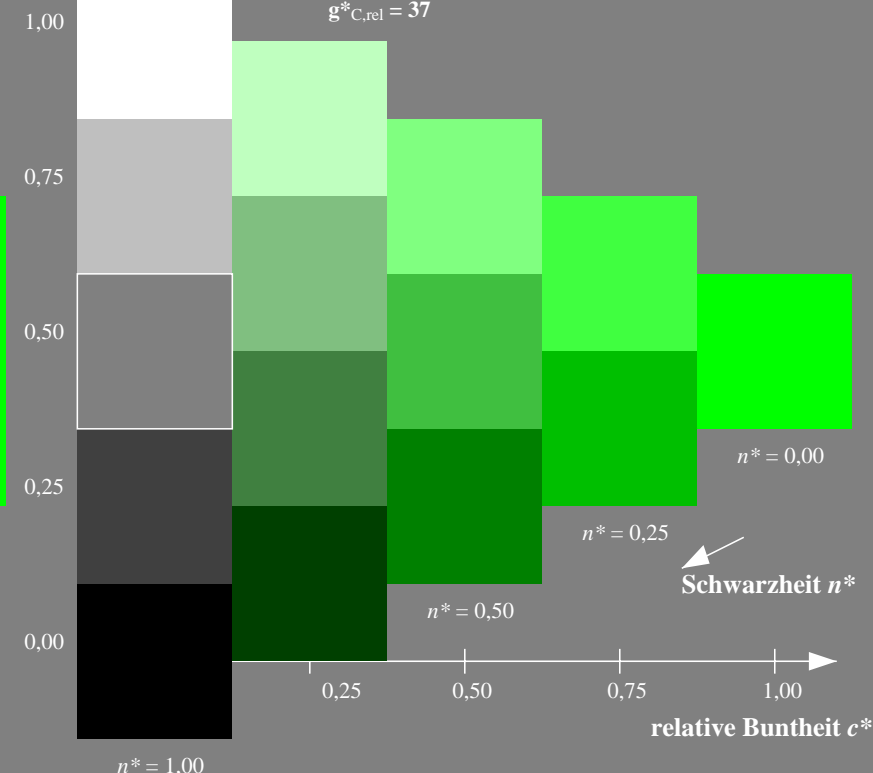
%Umfang

$u^*_{rel} = 158$

%Regularität

$g^*_{H,rel} = 20$

$g^*_{C,rel} = 37$



NG880-7, 3stufige Reihen für konstanten CIELAB Buntton 142/360 = 0.395 (links)

5stufige Reihen für konstanten CIELAB Buntton 136/360 = 0.378 (rechts)

BAM-Prüfvorlage NG88; Farbmetrik-Systeme TLS70 & TLS00 input: olv* setrgbcolor

D65: 3 und 5stufige Farbreihen für 10 Bunttöne

output: no change compared to input

Eingabe: Farbmetrisches Fernseh-Licht-System TLS70

für Buntton $h^* = lab^*h = 198/360 = 0.55$

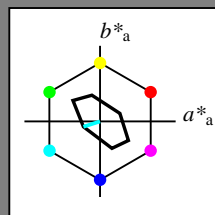
lab^*ich und lab^*nch

D65: Buntton C

LCH*Ma: 91 23 198

olv*Ma: 0.0 1.0 1.0

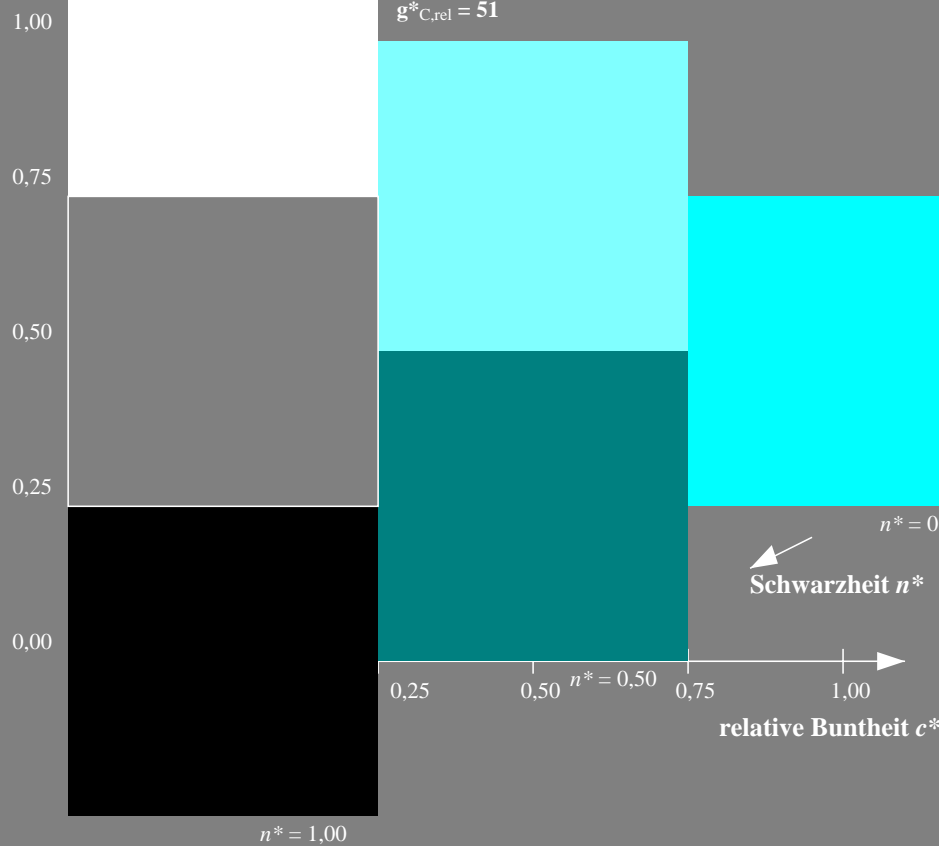
Dreiecks-Helligkeit t^*



TLS70; adaptierte CIELAB-Daten

| | $L^*=L^*_a$ | a^*_a | b^*_a | $C^*_{ab,a}$ | $h^*_{ab,a}$ |
|------------------|-------------|---------|---------|--------------|--------------|
| O _{Ma} | 76.43 | 26.27 | 10.57 | 28.32 | 22 |
| Y _{Ma} | 93.93 | -10.76 | 34.63 | 36.27 | 107 |
| L _{Ma} | 89.32 | -35.8 | 27.64 | 45.24 | 142 |
| C _{Ma} | 90.93 | -21.95 | -7.07 | 23.07 | 198 |
| V _{Ma} | 72.1 | 15.76 | -35.63 | 38.97 | 294 |
| M _{Ma} | 78.5 | 37.52 | -25.23 | 45.22 | 326 |
| N _{Ma} | 69.7 | 0.0 | 0.0 | 0.0 | 0 |
| W _{Ma} | 95.41 | 0.0 | 0.0 | 0.0 | 0 |
| R _{CIE} | 39.92 | 58.74 | 27.99 | 65.07 | 25 |
| J _{CIE} | 81.26 | -2.88 | 71.56 | 71.62 | 92 |
| G _{CIE} | 52.23 | -42.41 | 13.6 | 44.55 | 162 |
| B _{CIE} | 30.57 | 1.41 | -46.46 | 46.49 | 272 |

%Umfang
 $u^*_{rel} = 16$
%Regularität
 $g^*_{H,rel} = 34$
 $g^*_{C,rel} = 51$



Ausgabe: Farbmetrisches Fernseh-Licht-System TLS00

für Buntton $h^* = lab^*h = 196/360 = 0.545$

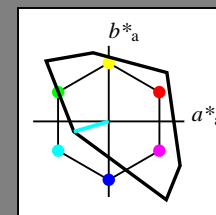
lab^*ich und lab^*nch

D65: Buntton C

LCH*Ma: 87 48 196

olv*Ma: 0.0 1.0 1.0

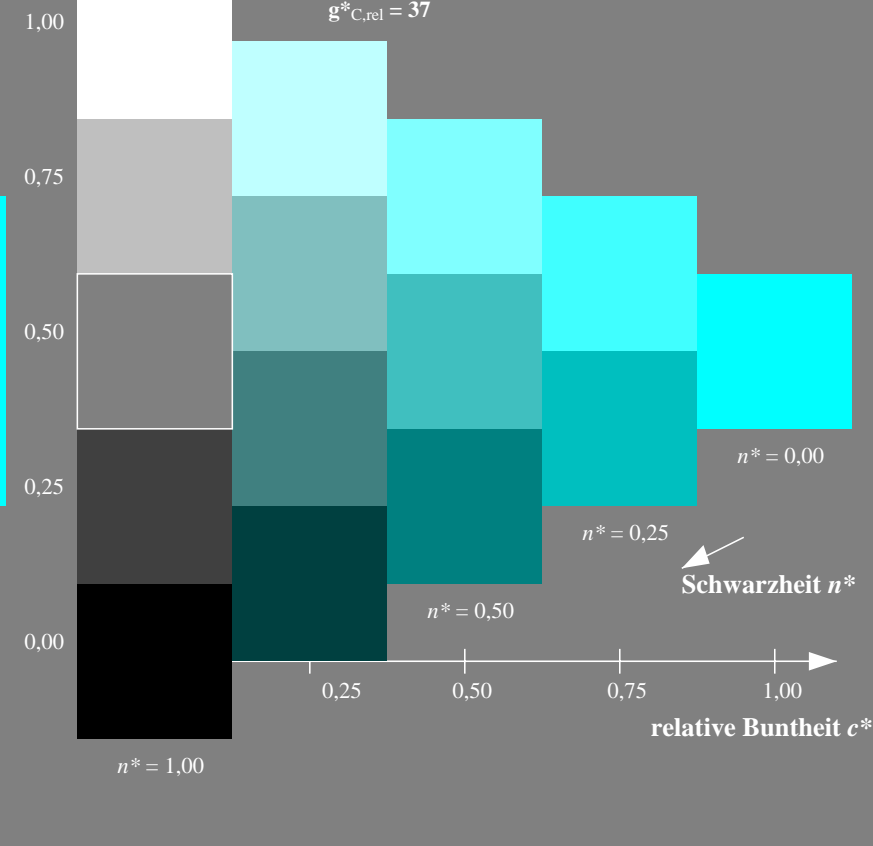
Dreiecks-Helligkeit t^*



TLS00; adaptierte CIELAB-Daten

| | $L^*=L^*_a$ | a^*_a | b^*_a | $C^*_{ab,a}$ | $h^*_{ab,a}$ |
|------------------|-------------|---------|---------|--------------|--------------|
| O _{Ma} | 50.5 | 76.92 | 64.55 | 100.42 | 40 |
| Y _{Ma} | 92.66 | -20.69 | 90.75 | 93.08 | 103 |
| L _{Ma} | 83.63 | -82.75 | 79.9 | 115.04 | 136 |
| C _{Ma} | 86.88 | -46.16 | -13.55 | 48.12 | 196 |
| V _{Ma} | 30.39 | 76.06 | -103.59 | 128.52 | 306 |
| M _{Ma} | 57.3 | 94.35 | -58.41 | 110.97 | 328 |
| N _{Ma} | 0.01 | 0.0 | 0.0 | 0.0 | 0 |
| W _{Ma} | 95.41 | 0.0 | 0.0 | 0.0 | 0 |
| R _{CIE} | 39.92 | 58.74 | 27.99 | 65.07 | 25 |
| J _{CIE} | 81.26 | -2.88 | 71.56 | 71.62 | 92 |
| G _{CIE} | 52.23 | -42.41 | 13.6 | 44.55 | 162 |
| B _{CIE} | 30.57 | 1.41 | -46.46 | 46.49 | 272 |

%Umfang
 $u^*_{rel} = 158$
%Regularität
 $g^*_{H,rel} = 20$
 $g^*_{C,rel} = 37$



NG880-7, 3stufige Reihen für konstanten CIELAB Buntton 198/360 = 0.55 (links)

5stufige Reihen für konstanten CIELAB Buntton 196/360 = 0.545 (rechts)

BAM-Prüfvorlage NG88; Farbmetrik-Systeme TLS70 & TLS00 input: olv* setrgbcolor

D65: 3 und 5stufige Farbreihen für 10 Bunttöne

output: no change compared to input

Eingabe: Farbmetrisches Fernseh-Licht-System TLS70

für Buntton $h^* = lab^*h = 294/360 = 0.816$

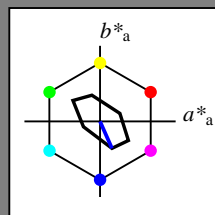
lab^*ich und lab^*nch

D65: Buntton V

LCH*Ma: 72 39 294

olv*Ma: 0.0 0.0 1.0

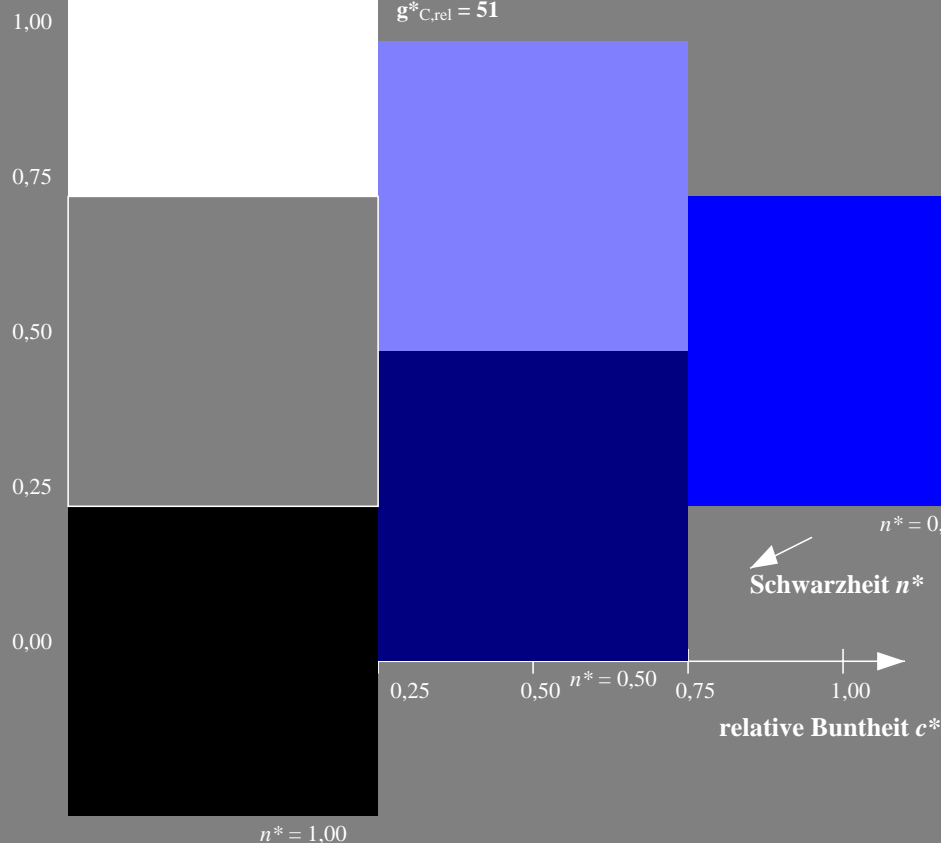
Dreiecks-Helligkeit t^*



TLS70; adaptierte CIELAB-Daten

| | $L^*=L^*_a$ | a^*_a | b^*_a | $C^*_{ab,a}$ | $h^*_{ab,a}$ |
|------------------|-------------|---------|---------|--------------|--------------|
| O _{Ma} | 76.43 | 26.27 | 10.57 | 28.32 | 22 |
| Y _{Ma} | 93.93 | -10.76 | 34.63 | 36.27 | 107 |
| L _{Ma} | 89.32 | -35.8 | 27.64 | 45.24 | 142 |
| C _{Ma} | 90.93 | -21.95 | -7.07 | 23.07 | 198 |
| V _{Ma} | 72.1 | 15.76 | -35.63 | 38.97 | 294 |
| M _{Ma} | 78.5 | 37.52 | -25.23 | 45.22 | 326 |
| N _{Ma} | 69.7 | 0.0 | 0.0 | 0.0 | 0 |
| W _{Ma} | 95.41 | 0.0 | 0.0 | 0.0 | 0 |
| R _{CIE} | 39.92 | 58.74 | 27.99 | 65.07 | 25 |
| J _{CIE} | 81.26 | -2.88 | 71.56 | 71.62 | 92 |
| G _{CIE} | 52.23 | -42.41 | 13.6 | 44.55 | 162 |
| B _{CIE} | 30.57 | 1.41 | -46.46 | 46.49 | 272 |

%Umfang
 $u^*_{rel} = 16$
%Regularität
 $g^*_{H,rel} = 34$
 $g^*_{C,rel} = 51$



Ausgabe: Farbmetrisches Fernseh-Licht-System TLS00

für Buntton $h^* = lab^*h = 306/360 = 0.851$

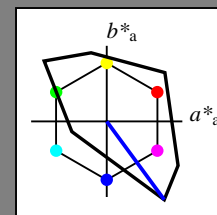
lab^*ich und lab^*nch

D65: Buntton V

LCH*Ma: 30 129 306

olv*Ma: 0.0 0.0 1.0

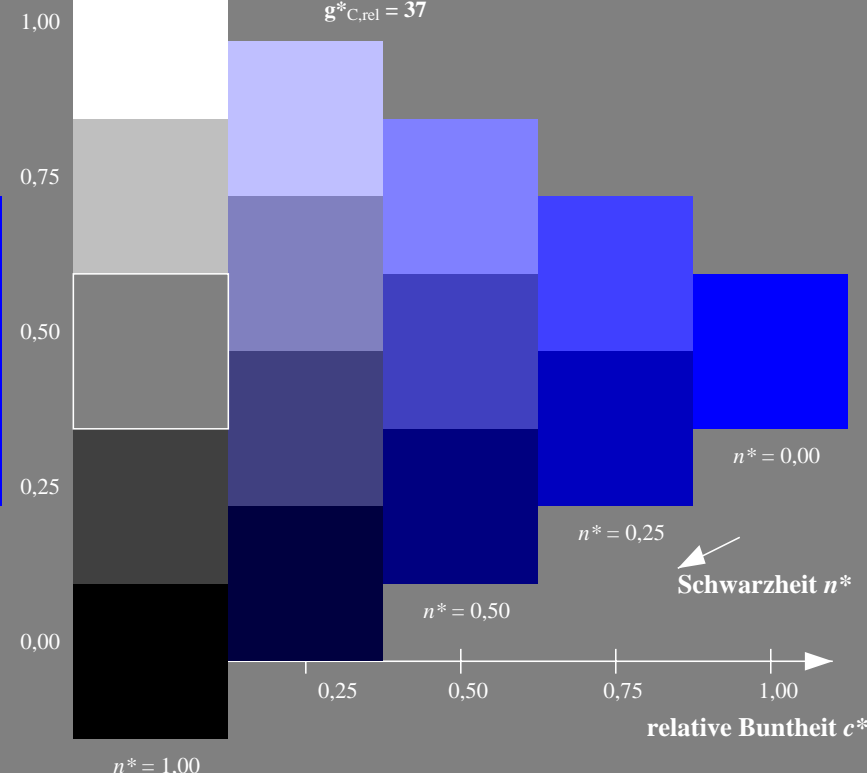
Dreiecks-Helligkeit t^*



TLS00; adaptierte CIELAB-Daten

| | $L^*=L^*_a$ | a^*_a | b^*_a | $C^*_{ab,a}$ | $h^*_{ab,a}$ |
|------------------|-------------|---------|---------|--------------|--------------|
| O _{Ma} | 50.5 | 76.92 | 64.55 | 100.42 | 40 |
| Y _{Ma} | 92.66 | -20.69 | 90.75 | 93.08 | 103 |
| L _{Ma} | 83.63 | -82.75 | 79.9 | 115.04 | 136 |
| C _{Ma} | 86.88 | -46.16 | -13.55 | 48.12 | 196 |
| V _{Ma} | 30.39 | 76.06 | -103.59 | 128.52 | 306 |
| M _{Ma} | 57.3 | 94.35 | -58.41 | 110.97 | 328 |
| N _{Ma} | 0.01 | 0.0 | 0.0 | 0.0 | 0 |
| W _{Ma} | 95.41 | 0.0 | 0.0 | 0.0 | 0 |
| R _{CIE} | 39.92 | 58.74 | 27.99 | 65.07 | 25 |
| J _{CIE} | 81.26 | -2.88 | 71.56 | 71.62 | 92 |
| G _{CIE} | 52.23 | -42.41 | 13.6 | 44.55 | 162 |
| B _{CIE} | 30.57 | 1.41 | -46.46 | 46.49 | 272 |

%Umfang
 $u^*_{rel} = 158$
%Regularität
 $g^*_{H,rel} = 20$
 $g^*_{C,rel} = 37$



NG880-7, 3stufige Reihen für konstanten CIELAB Buntton 294/360 = 0.816 (links)

5stufige Reihen für konstanten CIELAB Buntton 306/360 = 0.851 (rechts)

BAM-Prüfvorlage NG88; Farbmetrik-Systeme TLS70 & TLS00 input: olv* setrgbcolor

D65: 3 und 5stufige Farbreihen für 10 Bunttöne

output: no change compared to input

Eingabe: Farbmetrisches Fernseh-Licht-System TLS70

für Buntton $h^* = lab^*h = 326/360 = 0.906$

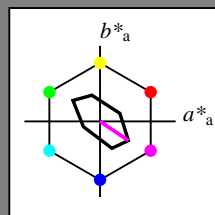
lab^*ich und lab^*nch

D65: Buntton M

LCH*Ma: 79 45 326

olv*Ma: 1.0 0.0 1.0

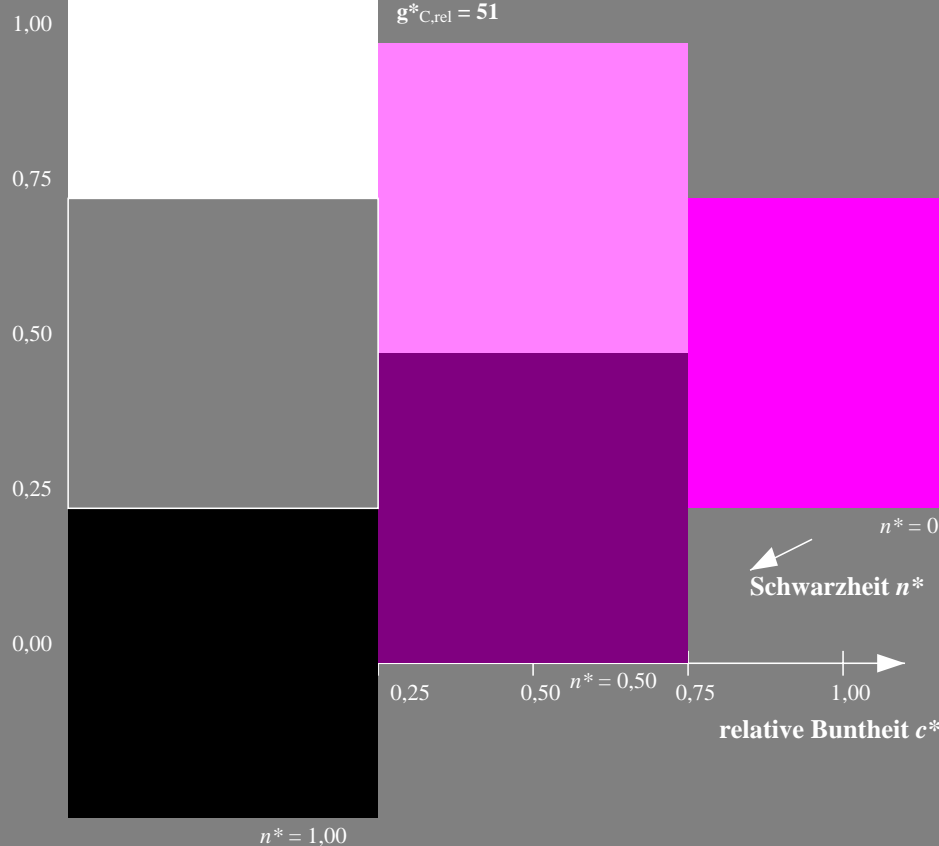
Dreiecks-Helligkeit t^*



TLS70; adaptierte CIELAB-Daten

| | $L^*=L^*_a$ | a^*_a | b^*_a | $C^*_{ab,a}$ | $h^*_{ab,a}$ |
|------------------|-------------|---------|---------|--------------|--------------|
| O _{Ma} | 76.43 | 26.27 | 10.57 | 28.32 | 22 |
| Y _{Ma} | 93.93 | -10.76 | 34.63 | 36.27 | 107 |
| L _{Ma} | 89.32 | -35.8 | 27.64 | 45.24 | 142 |
| C _{Ma} | 90.93 | -21.95 | -7.07 | 23.07 | 198 |
| V _{Ma} | 72.1 | 15.76 | -35.63 | 38.97 | 294 |
| M _{Ma} | 78.5 | 37.52 | -25.23 | 45.22 | 326 |
| N _{Ma} | 69.7 | 0.0 | 0.0 | 0.0 | 0 |
| W _{Ma} | 95.41 | 0.0 | 0.0 | 0.0 | 0 |
| R _{CIE} | 39.92 | 58.74 | 27.99 | 65.07 | 25 |
| J _{CIE} | 81.26 | -2.88 | 71.56 | 71.62 | 92 |
| G _{CIE} | 52.23 | -42.41 | 13.6 | 44.55 | 162 |
| B _{CIE} | 30.57 | 1.41 | -46.46 | 46.49 | 272 |

%Umfang
 $u^*_{rel} = 16$
%Regularität
 $g^*_{H,rel} = 34$
 $g^*_{C,rel} = 51$



Ausgabe: Farbmetrisches Fernseh-Licht-System TLS00

für Buntton $h^* = lab^*h = 328/360 = 0.912$

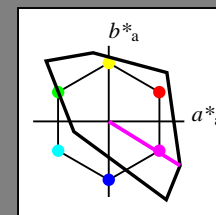
lab^*ich und lab^*nch

D65: Buntton M

LCH*Ma: 57 111 328

olv*Ma: 1.0 0.0 1.0

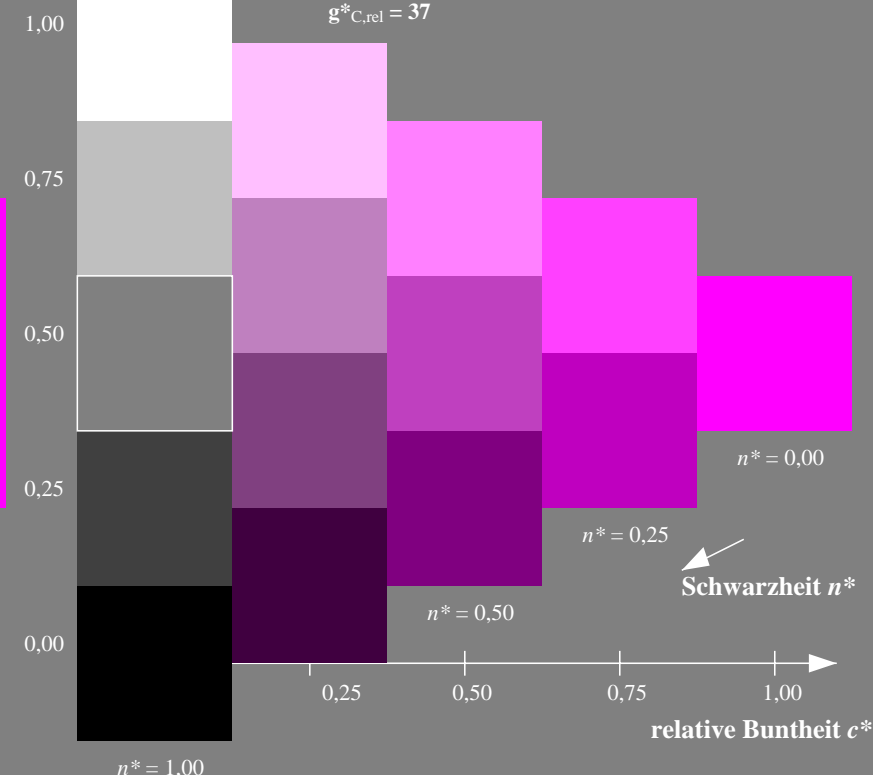
Dreiecks-Helligkeit t^*



TLS00; adaptierte CIELAB-Daten

| | $L^*=L^*_a$ | a^*_a | b^*_a | $C^*_{ab,a}$ | $h^*_{ab,a}$ |
|------------------|-------------|---------|---------|--------------|--------------|
| O _{Ma} | 50.5 | 76.92 | 64.55 | 100.42 | 40 |
| Y _{Ma} | 92.66 | -20.69 | 90.75 | 93.08 | 103 |
| L _{Ma} | 83.63 | -82.75 | 79.9 | 115.04 | 136 |
| C _{Ma} | 86.88 | -46.16 | -13.55 | 48.12 | 196 |
| V _{Ma} | 30.39 | 76.06 | -103.59 | 128.52 | 306 |
| M _{Ma} | 57.3 | 94.35 | -58.41 | 110.97 | 328 |
| N _{Ma} | 0.01 | 0.0 | 0.0 | 0.0 | 0 |
| W _{Ma} | 95.41 | 0.0 | 0.0 | 0.0 | 0 |
| R _{CIE} | 39.92 | 58.74 | 27.99 | 65.07 | 25 |
| J _{CIE} | 81.26 | -2.88 | 71.56 | 71.62 | 92 |
| G _{CIE} | 52.23 | -42.41 | 13.6 | 44.55 | 162 |
| B _{CIE} | 30.57 | 1.41 | -46.46 | 46.49 | 272 |

%Umfang
 $u^*_{rel} = 158$
%Regularität
 $g^*_{H,rel} = 20$
 $g^*_{C,rel} = 37$



NG880-7, 3stufige Reihen für konstanten CIELAB Buntton 326/360 = 0.906 (links)

5stufige Reihen für konstanten CIELAB Buntton 328/360 = 0.912 (rechts)

BAM-Prüfvorlage NG88; Farbmetrik-Systeme TLS70 & TLS00 input: olv* setrgbcolor

D65: 3 und 5stufige Farbreihen für 10 Bunttöne

output: no change compared to input

Eingabe: Farbmetrisches Fernseh-Licht-System TLS70

für Buntton $h^* = lab^*h = 25/360 = 0.071$

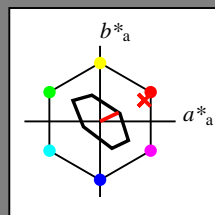
lab^*ich und lab^*nch

D65: Buntton R

LCH*Ma: 77 27 25

olv*Ma: 1.0 0.05 0.0

Dreiecks-Helligkeit t^*



TLS70; adaptierte CIELAB-Daten

| | $L^*=L^*_a$ | a^*_a | b^*_a | $C^*_{ab,a}$ | $h^*_{ab,a}$ |
|------------------|-------------|---------|---------|--------------|--------------|
| O _{Ma} | 76.43 | 26.27 | 10.57 | 28.32 | 22 |
| Y _{Ma} | 93.93 | -10.76 | 34.63 | 36.27 | 107 |
| L _{Ma} | 89.32 | -35.8 | 27.64 | 45.24 | 142 |
| C _{Ma} | 90.93 | -21.95 | -7.07 | 23.07 | 198 |
| V _{Ma} | 72.1 | 15.76 | -35.63 | 38.97 | 294 |
| M _{Ma} | 78.5 | 37.52 | -25.23 | 45.22 | 326 |
| N _{Ma} | 69.7 | 0.0 | 0.0 | 0.0 | 0 |
| W _{Ma} | 95.41 | 0.0 | 0.0 | 0.0 | 0 |
| R _{CIE} | 39.92 | 58.74 | 27.99 | 65.07 | 25 |
| J _{CIE} | 81.26 | -2.88 | 71.56 | 71.62 | 92 |
| G _{CIE} | 52.23 | -42.41 | 13.6 | 44.55 | 162 |
| B _{CIE} | 30.57 | 1.41 | -46.46 | 46.49 | 272 |

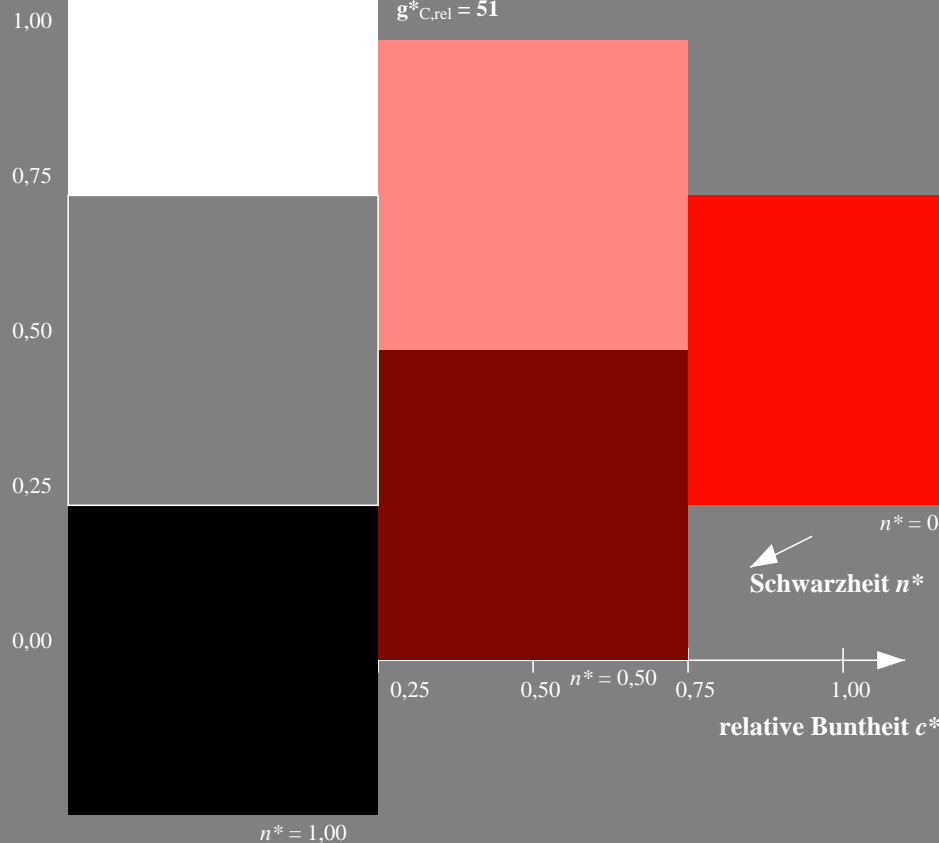
%Umfang

$u^*_{rel} = 16$

%Regularität

$g^*_{H,rel} = 34$

$g^*_{C,rel} = 51$



Ausgabe: Farbmetrisches Fernseh-Licht-System TLS00

für Buntton $h^* = lab^*h = 25/360 = 0.071$

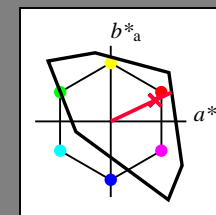
lab^*ich und lab^*nch

D65: Buntton R

LCH*Ma: 52 89 25

olv*Ma: 1.0 0.0 0.21

Dreiecks-Helligkeit t^*



TLS00; adaptierte CIELAB-Daten

| | $L^*=L^*_a$ | a^*_a | b^*_a | $C^*_{ab,a}$ | $h^*_{ab,a}$ |
|------------------|-------------|---------|---------|--------------|--------------|
| O _{Ma} | 50.5 | 76.92 | 64.55 | 100.42 | 40 |
| Y _{Ma} | 92.66 | -20.69 | 90.75 | 93.08 | 103 |
| L _{Ma} | 83.63 | -82.75 | 79.9 | 115.04 | 136 |
| C _{Ma} | 86.88 | -46.16 | -13.55 | 48.12 | 196 |
| V _{Ma} | 30.39 | 76.06 | -103.59 | 128.52 | 306 |
| M _{Ma} | 57.3 | 94.35 | -58.41 | 110.97 | 328 |
| N _{Ma} | 0.01 | 0.0 | 0.0 | 0.0 | 0 |
| W _{Ma} | 95.41 | 0.0 | 0.0 | 0.0 | 0 |
| R _{CIE} | 39.92 | 58.74 | 27.99 | 65.07 | 25 |
| J _{CIE} | 81.26 | -2.88 | 71.56 | 71.62 | 92 |
| G _{CIE} | 52.23 | -42.41 | 13.6 | 44.55 | 162 |
| B _{CIE} | 30.57 | 1.41 | -46.46 | 46.49 | 272 |

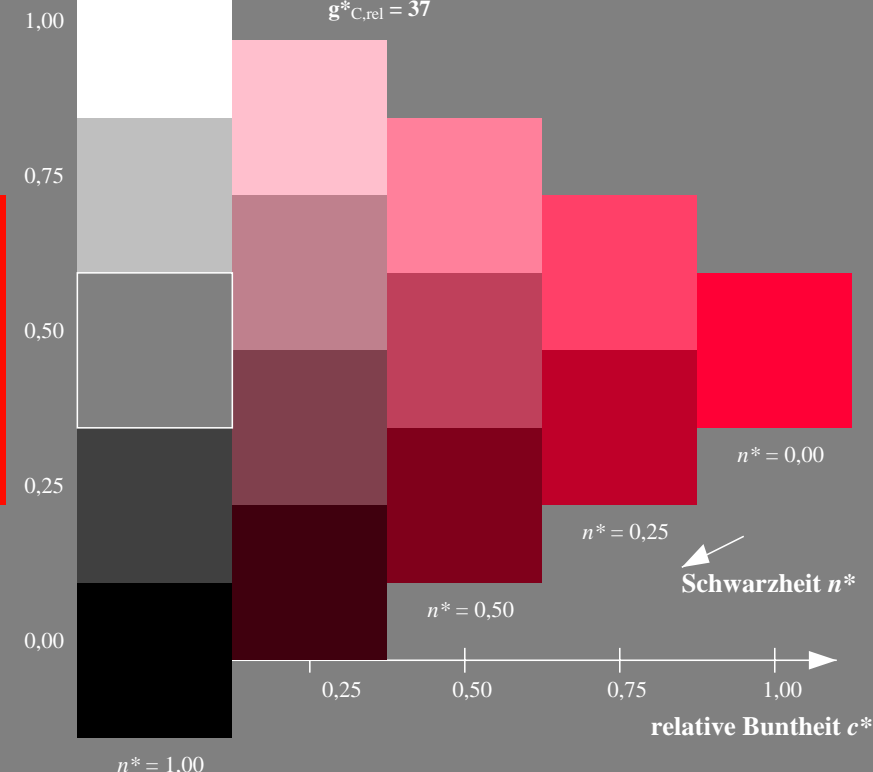
%Umfang

$u^*_{rel} = 158$

%Regularität

$g^*_{H,rel} = 20$

$g^*_{C,rel} = 37$



NG880-7, 3stufige Reihen für konstanten CIELAB Buntton 25/360 = 0.071 (links)

5stufige Reihen für konstanten CIELAB Buntton 25/360 = 0.071 (rechts)

BAM-Prüfvorlage NG88; Farbmetrik-Systeme TLS70 & TLS00 input: olv* setrgbcolor

D65: 3 und 5stufige Farbreihen für 10 Bunttöne

output: no change compared to input

Eingabe: Farbmetrisches Fernseh-Licht-System TLS70

für Buntton $h^* = lab^*h = 92/360 = 0.256$

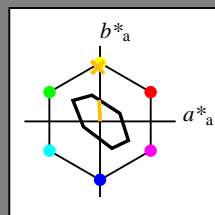
lab^*ich und lab^*nch

D65: Buntton J

LCH*Ma: 89 28 92

olv*Ma: 1.0 0.74 0.0

Dreiecks-Helligkeit t^*



%Umfang
 $u^*_{rel} = 16$
%Regularität
 $g^*_{H,rel} = 34$
 $g^*_{C,rel} = 51$

TLS70; adaptierte CIELAB-Daten

| | $L^*=L^*_a$ | a^*_a | b^*_a | $C^*_{ab,a}$ | $h^*_{ab,a}$ |
|------------------|-------------|---------|---------|--------------|--------------|
| O _{Ma} | 76.43 | 26.27 | 10.57 | 28.32 | 22 |
| Y _{Ma} | 93.93 | -10.76 | 34.63 | 36.27 | 107 |
| L _{Ma} | 89.32 | -35.8 | 27.64 | 45.24 | 142 |
| C _{Ma} | 90.93 | -21.95 | -7.07 | 23.07 | 198 |
| V _{Ma} | 72.1 | 15.76 | -35.63 | 38.97 | 294 |
| M _{Ma} | 78.5 | 37.52 | -25.23 | 45.22 | 326 |
| N _{Ma} | 69.7 | 0.0 | 0.0 | 0.0 | 0 |
| W _{Ma} | 95.41 | 0.0 | 0.0 | 0.0 | 0 |
| R _{CIE} | 39.92 | 58.74 | 27.99 | 65.07 | 25 |
| J _{CIE} | 81.26 | -2.88 | 71.56 | 71.62 | 92 |
| G _{CIE} | 52.23 | -42.41 | 13.6 | 44.55 | 162 |
| B _{CIE} | 30.57 | 1.41 | -46.46 | 46.49 | 272 |

Ausgabe: Farbmetrisches Fernseh-Licht-System TLS00

für Buntton $h^* = lab^*h = 92/360 = 0.256$

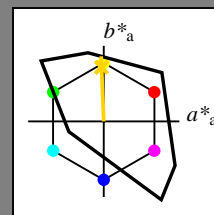
lab^*ich und lab^*nch

D65: Buntton J

LCH*Ma: 85 86 92

olv*Ma: 1.0 0.82 0.0

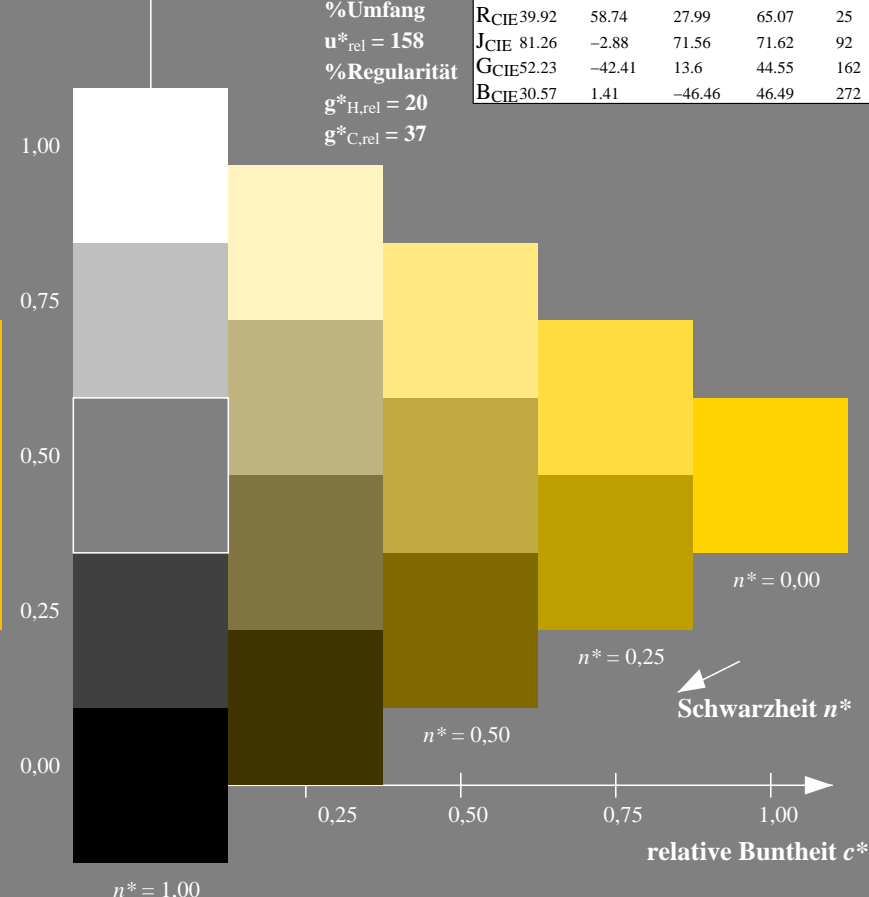
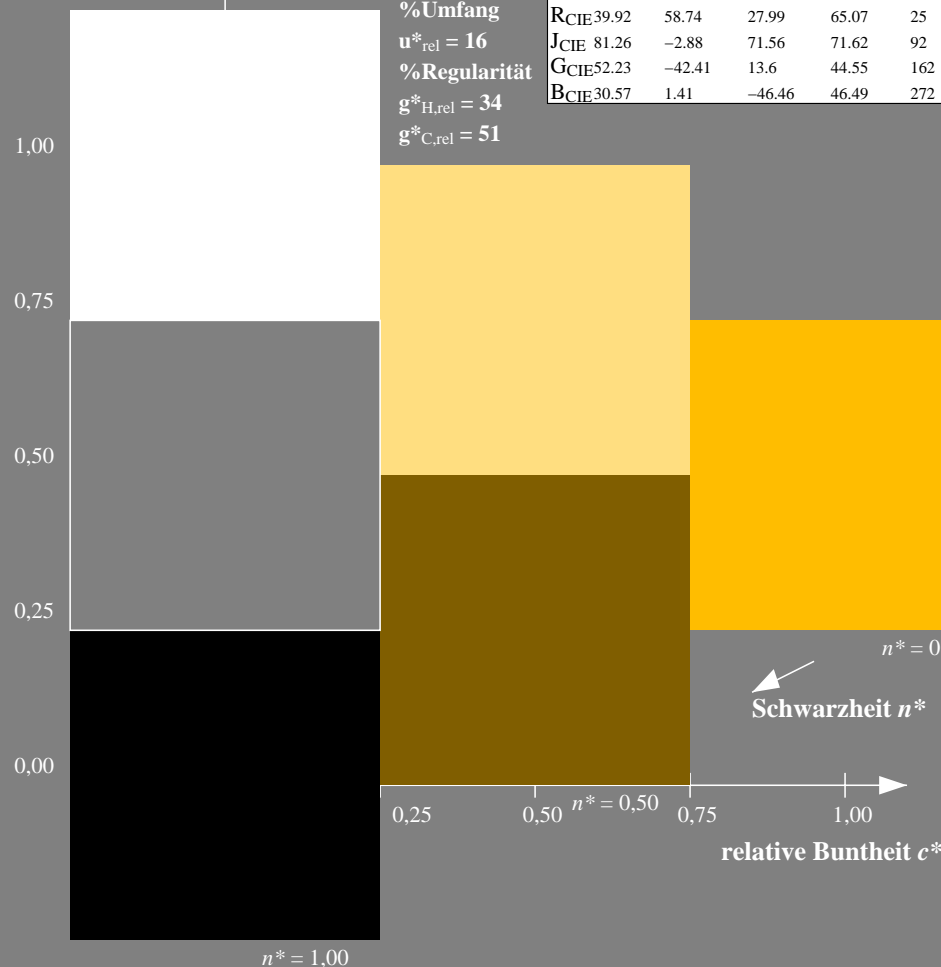
Dreiecks-Helligkeit t^*



%Umfang
 $u^*_{rel} = 158$
%Regularität
 $g^*_{H,rel} = 20$
 $g^*_{C,rel} = 37$

TLS00; adaptierte CIELAB-Daten

| | $L^*=L^*_a$ | a^*_a | b^*_a | $C^*_{ab,a}$ | $h^*_{ab,a}$ |
|------------------|-------------|---------|---------|--------------|--------------|
| O _{Ma} | 50.5 | 76.92 | 64.55 | 100.42 | 40 |
| Y _{Ma} | 92.66 | -20.69 | 90.75 | 93.08 | 103 |
| L _{Ma} | 83.63 | -82.75 | 79.9 | 115.04 | 136 |
| C _{Ma} | 86.88 | -46.16 | -13.55 | 48.12 | 196 |
| V _{Ma} | 30.39 | 76.06 | -103.59 | 128.52 | 306 |
| M _{Ma} | 57.3 | 94.35 | -58.41 | 110.97 | 328 |
| N _{Ma} | 0.01 | 0.0 | 0.0 | 0.0 | 0 |
| W _{Ma} | 95.41 | 0.0 | 0.0 | 0.0 | 0 |
| R _{CIE} | 39.92 | 58.74 | 27.99 | 65.07 | 25 |
| J _{CIE} | 81.26 | -2.88 | 71.56 | 71.62 | 92 |
| G _{CIE} | 52.23 | -42.41 | 13.6 | 44.55 | 162 |
| B _{CIE} | 30.57 | 1.41 | -46.46 | 46.49 | 272 |



NG880-7, 3stufige Reihen für konstanten CIELAB Buntton 92/360 = 0.256 (links)

5stufige Reihen für konstanten CIELAB Buntton 92/360 = 0.256 (rechts)

BAM-Prüfvorlage NG88; Farbmetrik-Systeme TLS70 & TLS00 input: olv* setrgbcolor

D65: 3 und 5stufige Farbreihen für 10 Bunttöne

output: no change compared to input

Eingabe: Farbmetrisches Fernseh-Licht-System TLS70

für Buntton $h^* = lab^*h = 162/360 = 0.451$

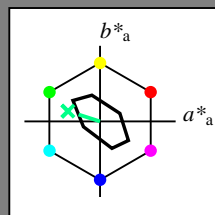
lab^*ich und lab^*nch

D65: Buntton G

LCH*Ma: 90 30 162

olv*Ma: 0.0 1.0 0.53

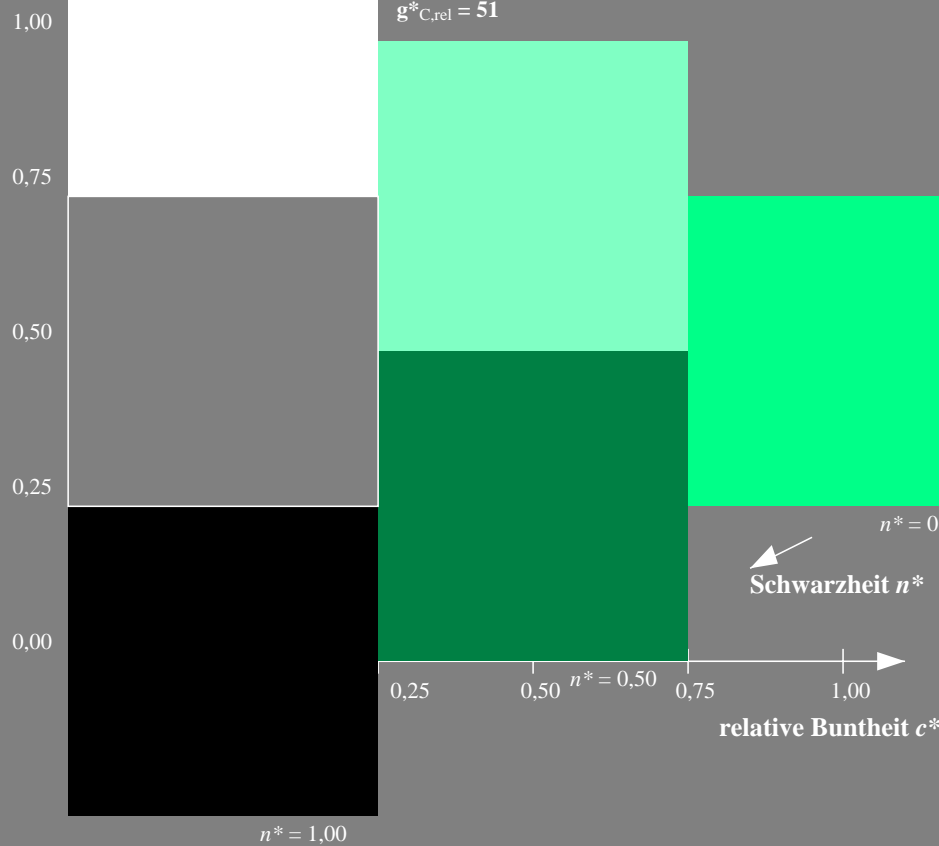
Dreiecks-Helligkeit t^*



TLS70; adaptierte CIELAB-Daten

| | $L^*=L^*_a$ | a^*_a | b^*_a | $C^*_{ab,a}$ | $h^*_{ab,a}$ |
|------------------|-------------|---------|---------|--------------|--------------|
| O _{Ma} | 76.43 | 26.27 | 10.57 | 28.32 | 22 |
| Y _{Ma} | 93.93 | -10.76 | 34.63 | 36.27 | 107 |
| L _{Ma} | 89.32 | -35.8 | 27.64 | 45.24 | 142 |
| C _{Ma} | 90.93 | -21.95 | -7.07 | 23.07 | 198 |
| V _{Ma} | 72.1 | 15.76 | -35.63 | 38.97 | 294 |
| M _{Ma} | 78.5 | 37.52 | -25.23 | 45.22 | 326 |
| N _{Ma} | 69.7 | 0.0 | 0.0 | 0.0 | 0 |
| W _{Ma} | 95.41 | 0.0 | 0.0 | 0.0 | 0 |
| R _{CIE} | 39.92 | 58.74 | 27.99 | 65.07 | 25 |
| J _{CIE} | 81.26 | -2.88 | 71.56 | 71.62 | 92 |
| G _{CIE} | 52.23 | -42.41 | 13.6 | 44.55 | 162 |
| B _{CIE} | 30.57 | 1.41 | -46.46 | 46.49 | 272 |

%Umfang
 $u^*_{rel} = 16$
%Regularität
 $g^*_{H,rel} = 34$
 $g^*_{C,rel} = 51$



Ausgabe: Farbmetrisches Fernseh-Licht-System TLS00

für Buntton $h^* = lab^*h = 162/360 = 0.451$

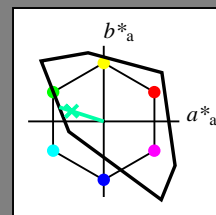
lab^*ich und lab^*nch

D65: Buntton G

LCH*Ma: 86 62 162

olv*Ma: 0.0 1.0 0.65

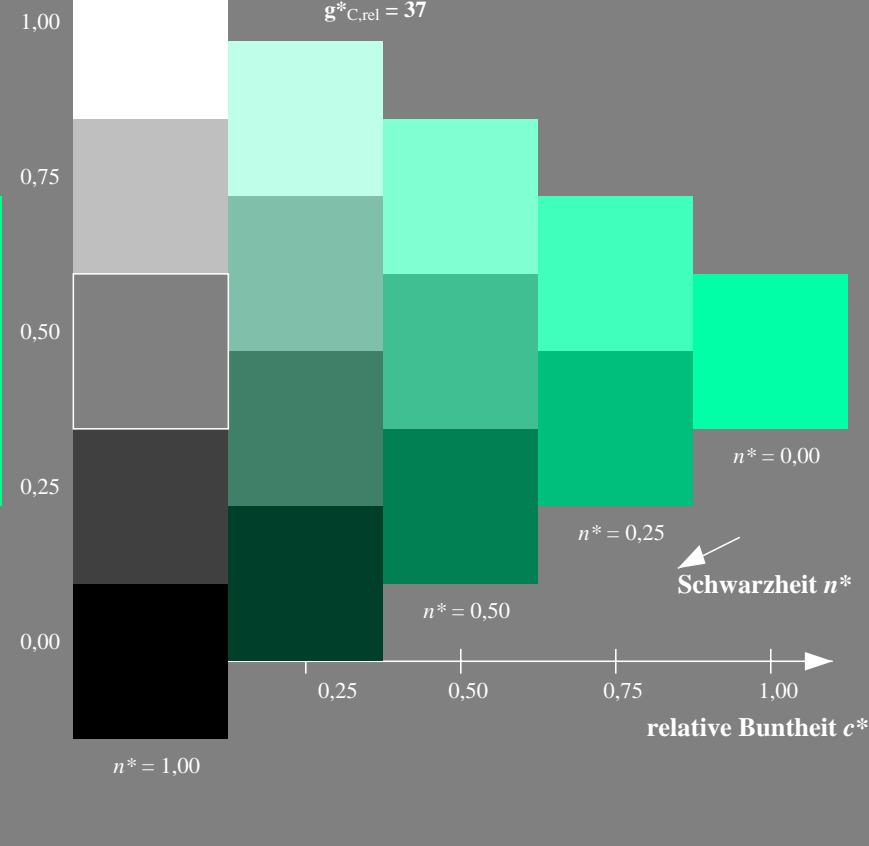
Dreiecks-Helligkeit t^*



TLS00; adaptierte CIELAB-Daten

| | $L^*=L^*_a$ | a^*_a | b^*_a | $C^*_{ab,a}$ | $h^*_{ab,a}$ |
|------------------|-------------|---------|---------|--------------|--------------|
| O _{Ma} | 50.5 | 76.92 | 64.55 | 100.42 | 40 |
| Y _{Ma} | 92.66 | -20.69 | 90.75 | 93.08 | 103 |
| L _{Ma} | 83.63 | -82.75 | 79.9 | 115.04 | 136 |
| C _{Ma} | 86.88 | -46.16 | -13.55 | 48.12 | 196 |
| V _{Ma} | 30.39 | 76.06 | -103.59 | 128.52 | 306 |
| M _{Ma} | 57.3 | 94.35 | -58.41 | 110.97 | 328 |
| N _{Ma} | 0.01 | 0.0 | 0.0 | 0.0 | 0 |
| W _{Ma} | 95.41 | 0.0 | 0.0 | 0.0 | 0 |
| R _{CIE} | 39.92 | 58.74 | 27.99 | 65.07 | 25 |
| J _{CIE} | 81.26 | -2.88 | 71.56 | 71.62 | 92 |
| G _{CIE} | 52.23 | -42.41 | 13.6 | 44.55 | 162 |
| B _{CIE} | 30.57 | 1.41 | -46.46 | 46.49 | 272 |

%Umfang
 $u^*_{rel} = 158$
%Regularität
 $g^*_{H,rel} = 20$
 $g^*_{C,rel} = 37$



NG880-7, 3stufige Reihen für konstanten CIELAB Buntton 162/360 = 0.451 (links)

5stufige Reihen für konstanten CIELAB Buntton 162/360 = 0.451 (rechts)

BAM-Prüfvorlage NG88; Farbmetrik-Systeme TLS70 & TLS00 input: olv* setrgbcolor

D65: 3 und 5stufige Farbreihen für 10 Bunttöne

output: no change compared to input

Eingabe: Farbmetrisches Fernseh-Licht-System TLS70

für Buntton $h^* = lab^*h = 272/360 = 0.755$

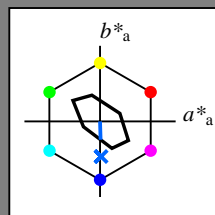
lab^*ich und lab^*nch

D65: Buntton B

LCH*Ma: 80 24 272

olv*Ma: 0.0 0.4 1.0

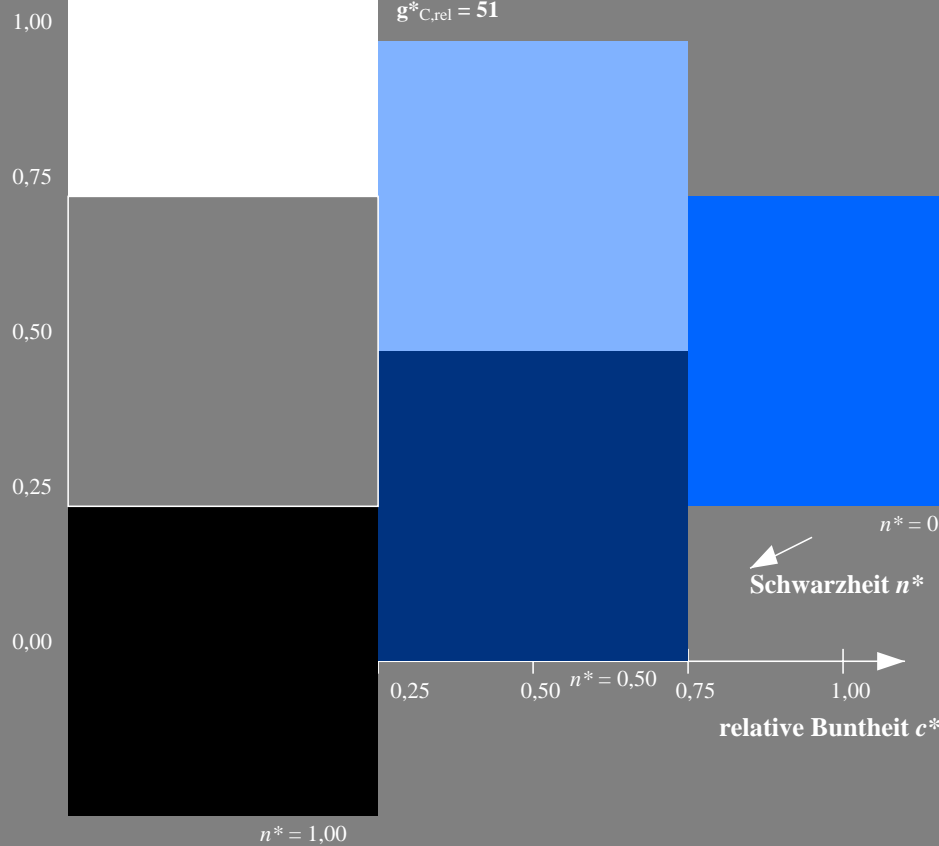
Dreiecks-Helligkeit t^*



TLS70; adaptierte CIELAB-Daten

| | $L^*=L^*_a$ | a^*_a | b^*_a | $C^*_{ab,a}$ | $h^*_{ab,a}$ |
|------------------|-------------|---------|---------|--------------|--------------|
| O _{Ma} | 76.43 | 26.27 | 10.57 | 28.32 | 22 |
| Y _{Ma} | 93.93 | -10.76 | 34.63 | 36.27 | 107 |
| L _{Ma} | 89.32 | -35.8 | 27.64 | 45.24 | 142 |
| C _{Ma} | 90.93 | -21.95 | -7.07 | 23.07 | 198 |
| V _{Ma} | 72.1 | 15.76 | -35.63 | 38.97 | 294 |
| M _{Ma} | 78.5 | 37.52 | -25.23 | 45.22 | 326 |
| N _{Ma} | 69.7 | 0.0 | 0.0 | 0.0 | 0 |
| W _{Ma} | 95.41 | 0.0 | 0.0 | 0.0 | 0 |
| R _{CIE} | 39.92 | 58.74 | 27.99 | 65.07 | 25 |
| J _{CIE} | 81.26 | -2.88 | 71.56 | 71.62 | 92 |
| G _{CIE} | 52.23 | -42.41 | 13.6 | 44.55 | 162 |
| B _{CIE} | 30.57 | 1.41 | -46.46 | 46.49 | 272 |

%Umfang
 $u^*_{rel} = 16$
%Regularität
 $g^*_{H,rel} = 34$
 $g^*_{C,rel} = 51$



Ausgabe: Farbmetrisches Fernseh-Licht-System TLS00

für Buntton $h^* = lab^*h = 272/360 = 0.755$

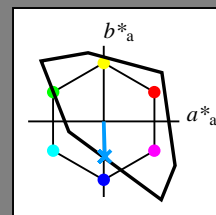
lab^*ich und lab^*nch

D65: Buntton B

LCH*Ma: 65 49 272

olv*Ma: 0.0 0.61 1.0

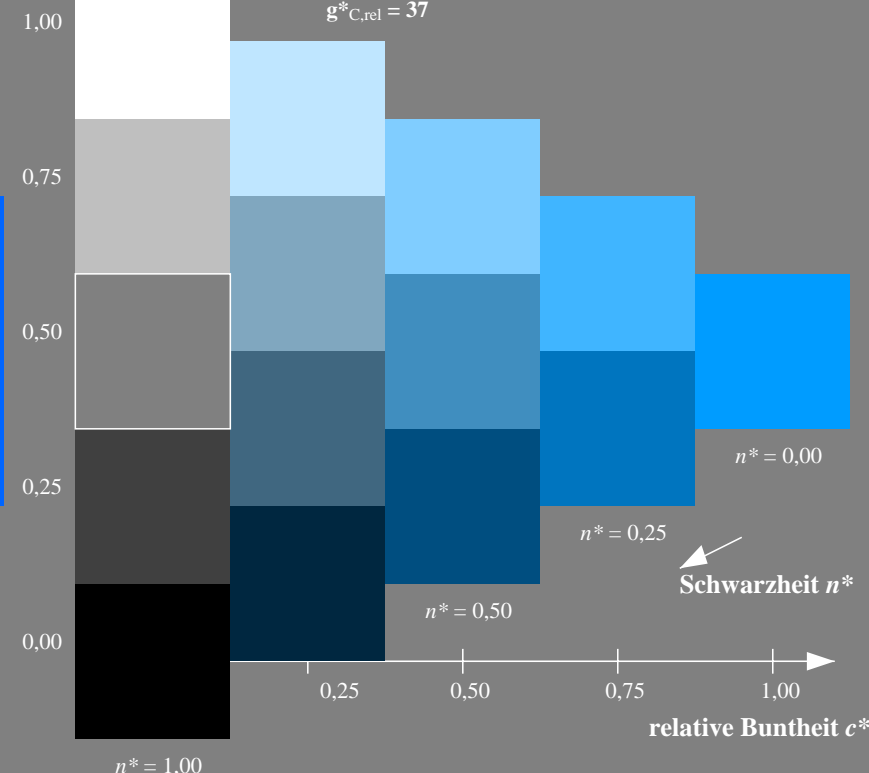
Dreiecks-Helligkeit t^*



TLS00; adaptierte CIELAB-Daten

| | $L^*=L^*_a$ | a^*_a | b^*_a | $C^*_{ab,a}$ | $h^*_{ab,a}$ |
|------------------|-------------|---------|---------|--------------|--------------|
| O _{Ma} | 50.5 | 76.92 | 64.55 | 100.42 | 40 |
| Y _{Ma} | 92.66 | -20.69 | 90.75 | 93.08 | 103 |
| L _{Ma} | 83.63 | -82.75 | 79.9 | 115.04 | 136 |
| C _{Ma} | 86.88 | -46.16 | -13.55 | 48.12 | 196 |
| V _{Ma} | 30.39 | 76.06 | -103.59 | 128.52 | 306 |
| M _{Ma} | 57.3 | 94.35 | -58.41 | 110.97 | 328 |
| N _{Ma} | 0.01 | 0.0 | 0.0 | 0.0 | 0 |
| W _{Ma} | 95.41 | 0.0 | 0.0 | 0.0 | 0 |
| R _{CIE} | 39.92 | 58.74 | 27.99 | 65.07 | 25 |
| J _{CIE} | 81.26 | -2.88 | 71.56 | 71.62 | 92 |
| G _{CIE} | 52.23 | -42.41 | 13.6 | 44.55 | 162 |
| B _{CIE} | 30.57 | 1.41 | -46.46 | 46.49 | 272 |

%Umfang
 $u^*_{rel} = 158$
%Regularität
 $g^*_{H,rel} = 20$
 $g^*_{C,rel} = 37$



NG880-7, 3stufige Reihen für konstanten CIELAB Buntton 272/360 = 0.755 (links)

5stufige Reihen für konstanten CIELAB Buntton 272/360 = 0.755 (rechts)

BAM-Prüfvorlage NG88; Farbmetrik-Systeme TLS70 & TLS00 input: olv* setrgbcolor

D65: 3 und 5stufige Farbreihen für 10 Bunttöne

output: no change compared to input